

有色金屬合金叢書

稀土金屬及其合金

中南矿冶学院  
有色金屬合金教研組編著

有色金属合金丛书  
稀土金属及其合金

中南矿冶学院

有色金属合金教研组 编著

冶金工业出版社出版 (北京市灯市口甲45号)

北京市书刊出版业营业登记证字第093号

冶金工业出版社印刷厂印 新华书店发行

- \* -

1959年12月第一版

1959年12月北京第一次印刷

印数 2,820 册

开本787×1092 · 1/40 · 32,400字 · 印张1<sup>14</sup>/<sub>40</sub>

- \* -

统一书号 15062 · 1979 · 定价 0.17 元

## 編者的話

隨着我國社會主義建設事業的飛躍發展，冶金工業部門在大力發展鋼鐵銅鋁等生產的同時，對於稀有金屬及其合金的研究和生產也極為重視。我們為了適應生產建設的需要，就稀有金屬合金的成分、組織、性質及其製造和用途等方面編寫一些小冊子，列入有色金屬合金叢書陸續出版。

稀有金屬及其合金主要是一些運用於先進科學技術部門的新型金屬材料，由於資料的收集比較困難，所寫內容難於全面深入，同時又限於編者水平，遺漏錯誤之處，在所難免，希讀者指正。

這一冊是本組張緯斌同志編寫的，馬恆儒教授和曹明盛、唐遠永、殷國謹、李健純等同志作了某些校對工作。

中南礦冶學院有色金屬合金教研組

1959年9月

# 目 录

<b>一、概述</b>	1
<b>二、稀土金属</b>	4
1. 稀土金属的纯度	4
2. 稀土金属的主要杂质	4
3. 稀土金属的性质	5
(1) 物理性质	5
(2) 化学性质	8
(3) 机械性质	9
4. 稀土金属及其合金的加工工艺	14
(1) 熔化和铸造	14
(2) 压力加工	15
(3) 金属焊接	15
(4) 金属切削	15
(5) 金属热处理	16
(6) 粉末冶金	16
5. 稀土金属的应用	16
<b>三、稀土金属合金</b>	20
1. 稀土金属合金概况及其特点	20
2. 含稀土金属的镁合金	22
3. 含稀土金属的铝合金	33
4. 含稀土金属的镍铬合金	35
5. 含稀土金属的铜合金和其他有色金属合金	38
6. 稀土金属之间和稀土金属与其他稀有金属 之间形成的合金	41
7. 用稀土金属化合物制成的合金	47
<b>四、结语</b>	48

## 一、概述

稀土金屬主要包括 15 种元素，它們在周期表中佔有特殊的位置，其原子序数从 57（鑭）到 71（鐐）。它們的物理化學性質十分相近，故列入一系，稱為鑭系元素。鑭系元素一般又分为三族：即鈰族、鈦族、釔族[1]。但也有只分为鈰族及釔族的，只是这里所指的釔族，包括上述鈦族及釔族的全部元素[2]。

在稀土金屬中，除上述 15 种鑭系元素之外，由于釔及釔的化學性質與它們很近似，也常被列入稀土金屬之內。鈨的一些化學性質與稀土金屬也很相似，且在自然狀態下，常與稀土金屬緊密結合在一起，故常與稀土金屬一同研究。但是，因為鈨是天然放射性元素，我們沒有列入本書中討論。

本書中所講的稀土金屬包括鑭系元素及釔、釔，共計 17 种，它們的化學符号及原子序数如表 1 所示。

稀土金屬按其在地殼中的含量來說，並不稀有。例如鈰的含量比銅、鉛、鋅多都多，但是因為這些元素在地殼中的分佈很分散，又難於冶煉成純金屬，因而就顯得是稀有的了。又由於稀土金屬氧化物的組成  $R_2O_3$ 、 $RO_2$  和那些形成土壤的氧化物（如  $Al_2O_3$  和  $CaO$  等）很相似，故稱這些金屬為稀土金屬[3]。

稀土金屬在地殼中的含量如表 2 所示[4]。

## 稀土金屬元素

表 1

族別	元素名稱	化 學 符 号	原 子 序 号
	钪 釔	Sc Y	21 39
錫族元素	鑭 鈡 镨 钕 钷 钐	La	57
		Ce	58
		Pr	59
		Nd	60
		Pm	61
		Sm	62
铽族元素	铕 钆 铽 镝	Eu	63
		Gd	64
		Tb	65
		Dy	66
釔族元素	钬 铒 铥 镱 镥 (钇)	Ho	67
		Er	68
		Tu	69
		Yb	70
		Lu	71
		(Y)	(39)

由此表可知，稀土金屬構成地壳的 0.005%，其中鈮約佔 1%。釔的含量次之，鑭、钐、钆、铽、镥再次之，鉨是人工制造的元素，在自然界中，沒有發現。

十八世紀末，首先發現稀土金屬鈮；十九世紀初發現鈮；钪是門捷列耶夫在 1871 年預言之後，在 1879 年發現的。

稀土金屬主要是從獨居石中提取出來的（約佔 60~70%）。目前工業上除了可以製出純淨的鈮和鑭之外，其餘各種稀土金屬，由於很難分

稀土元素在地壳中的含量 表 2\*

元素名称	地壳中的含量%
镧	0.00035
铈	0.00155
镨	0.00025
钕	0.00090
钷	0.00000
钐	0.00035
铕	0.00001
钆	0.00035
铽	0.00005
镝	0.00035
钬	0.00005
铒	0.00030
铥	0.00005
镱	0.00035
镥	0.00007
总计	0.005

\* 表中钇和铕在地壳中的含量，没有统计过去，钇的含量大概和普通元素“铝”、“镁”一样，在除铈族元素之外的稀土元素的自然储量中，钇佔优势。铕在地壳中的含量和钇族元素（如镝等）一样，都非常少。

离，现在尚处在实验室的研究阶段。

铈比其他所有稀土金属容易分离出来，现在年产量以吨计算（美国 1958 年产量约 100 吨），至于光谱纯度的铈仍然是很少的。镧、镨、钕的产量比铈少。其他稀土金属的生产就更少了。

在工业上可以直接利用混合稀土金属，它每年的生产量达到几千吨（美国 1958 年产量约 2500 吨），混合稀土金属可以看成是包含所有稀土金

屬的合金，其成分比例隨稀土礦物中各成分含量的比例而變化，大約含鐵量佔~5%左右。

## 二、稀土金屬

### 1. 稀土金屬的純度

純的稀土金屬很難制取，現在已經獲得稀土金屬的純度是：釔——99.99%，铈——99.99%，鑑——99.80%，鈥——99.99%，釤——99.00%，鈇——98.00%，釔——99.27%，鏽——99.60%，銣——94.98%，鈇——99.90%。

### 2. 稀土金屬中的主要杂质

工業純稀土金屬中的金屬杂质主要是其他稀土金屬，其次是鐵，其他重金屬（鉛、鈷、錫、錫等）含量極微。稀土金屬中常含有氧和氮等杂质，它們與基底金屬或其他金屬杂质形成第二相。在工業純稀土金屬中，常見到此種第二相與基底金屬（或其固溶體）形成的共晶，分布在晶粒的邊界上。從不同純度的釔的顯微組織分析中可以看到：釔的純度愈高，共晶組織的量愈少[5]。

從釔的金相分析[10]中，可知工業純釔的顯微組織是由粗大的基底金屬晶粒以及發亮的第二相包含物組成的，第二相沿晶界分佈。在第二相聚集的地方，可以明顯地看到是呈共晶體組織。並且這種粗大的黑色共晶廣泛散布在整個顯微視界之內。共晶中包含物的顯微硬度 ( $H_u = 300 \sim$

310 公斤/毫米<sup>2</sup>) 大大超过了基底金屬的顯微硬度 ( $H_\mu = 100 \sim 130$  公斤/毫米<sup>2</sup>)。

鈇在水冷銅坩堝電弧爐的保護氫氣中再次熔化時，則基底金屬和包含物的枝晶，都大為細化。再次熔化的金屬鈇的顯微硬度，也略有變化，基底金屬  $H_\mu = 110 \sim 115$  公斤/毫米<sup>2</sup>，包含物  $H_\mu = 190 \sim 200$  公斤/毫米<sup>2</sup>。

各種鈇的化學分析證明：其中有 94~96.5% 为鈇，其余为各种稀土金屬的氧化物。光譜分析的結果，證明还含有 0.01% Ta，这是由于在鉭坩堝內进行熔化的結果所造成，因此金相分析所看到的鈇的包含物，是氧化性質的化合物或不溶的杂质構成的。

### 3. 稀土金屬的性質

关于稀土金屬的性質，还只是剛剛開始研究，目前釔、铈、镨、钕等少数几个金屬有了較多的資料和說明，其他則还很少。

(1) 物理性質 稀土金屬一般有着与鐵或銀相似的光澤，在某些情況下，帶有或多或少的棕色或黃色。

对于稀土金屬的結構，曾經作过不少研究，表 3 說明了稀土金屬的晶体点陣类型、点陣常数、同素異晶轉变溫度、金屬熔化溫度、密度等 [4][7][8][9]。

由表 3 可以看到稀土金屬主要是六方密集点陣和面心立方点陣。釔、镥、铈、镨具有这两种点陣的同素異晶轉变。其轉变過程是很慢的，并且与其所經過的加工過程有关系，如铈在鑄造的

## 稀土元素的点阵

元素名称	点阵类型	点阵常数		
		$a$	$c$	$c/a$
$\alpha$ -钪	Sc	面心立方	4.541	—
$\beta$ -钪	Sc	六方密集	3.309	5.256
钇	Y	六方密集	3.663	5.814
$\alpha$ -镧	La	六方密集	3.754	6.063
$\beta$ -镧	La	面心立方	5.294	—
$\alpha$ -铈	Ce	六方密集	3.15	5.96
$\beta$ -铈	Ce	面心立密	5.140	—
$\alpha$ -镨	Pr	六方密集	3.657	5.924
$\beta$ -镨	Pr	面心立方	5.151	—
*1钕	Nd	六方密集	3.655	5.880
*2钷	Pm	面心立方	4.573	—
*3钐	Sm	六方密集	—	—
*4铕	Eu	面心立方	4.573	—
钆	Gd	六方密集	3.622	5.748
铽	Tb	六方密集	3.585	5.664
镝	Dy	六方密集	3.578	5.648
钬	Ho	六方密集	3.564	5.600
铒	Er	六方密集	3.532	5.589
铥	Tu	六方密集	3.523	5.564
*5镱	Yb	面心立方	5.468	—
镥	Lu	六方密集	3.509	5.539
				1.584

## 及其他物理性質

表 3

同素異晶轉 變溫度 <sup>°</sup> C	熔化溫度 <sup>°</sup> C	密 度 克/厘米 <sup>3</sup>	备 考
{ -	1200—1400	2.5	[4]
-	1475—1525	4.340	
{ 600—650	920±5	6.194 6.180	
{ 380—480	804±5	6.780 6.810	
{ 600	935±5	6.777 6.805	
-	1024±5	6.998	*1按[9]認為有 $\alpha \leftrightarrow \beta$ 轉變溫度為850 <sup>°</sup> C
-	-	-	*2也有認為是菱形點陣者
-	1052±5	6.93	*3按[9]指出有同素異晶轉變，轉變溫度為917 <sup>°</sup> C，也有認為體心立方點陣者
-	900(也有認為1150±5)	5.244	*4按[2]的體心立方，也有認為是密集六方點陣者
-	1350±20	7.948	
-	1400—1500	8.332	
-	1400	8.562	
-	1475—1525	8.764	按[4]
-	1475—1525	9.164	
-	1500—1550	9.346	
-	~1800	7.010	*5按Spedding F. H. 等 數據有同素異型轉變
-	1650—1750	9.740	

去除表面的試棒內，于室溫下有面心立方和密集六方的混合結構，而在挤压去除表面的同样形式的試棒內，則只有面心立方点陣。鑭在鑄造的去除表面的試棒內，于室溫下主要為六方密集点陣，部分為面心立方点陣，在挤压的去除表面的同样形式的試棒中，也主要為六方密集点陣，部分為面心立方点陣[4]。

由于同素異晶轉變的过程很慢，所采用的金屬純度和測量的方法又各有不同，故其轉變溫度很难准确一致，甚至釔、鈸有無同素異晶轉變，迄今尚未完全肯定，按 Эймс 实驗室以 X 光分析的結果，得知 長在  $800\sim900^{\circ}\text{C}$ 由六 方点陣 轉變到面心点陣。

測定稀土金屬的熔點時，也由于所用金屬的純度、測量方法和精确度不同，因而所得的数据，彼此也有很大的差別。

至于鑭的熔點以前測得為 $\sim1800^{\circ}\text{C}$ ，但按 Эймс 实驗的数据又為 $824^{\circ}\text{C}$ ，釔的熔點，按一般文献上的数据為 $840^{\circ}\text{C}$ ，但按 F. H. Spedding 及 A. H. Даафе 的数据却為 $1020^{\circ}\text{C}$ ，这些数据之間相差太大，未免会有錯誤之处。

稀土金屬的密度，以釔為最小，鈸次之，鎿又次之，鈥和鑭的密度最大。

釔是少数天然鐵磁材料中的一种，而鈸、鎿、鈧、釔、鈥是最有力的順磁性元素。这些，在磁鐵物質方面，將提供新的發展条件。

(2) 化学性質 稀土金屬在空气中的腐蝕稳定性隨其原子序数的增加而增加[4]，鑭甚至

在室溫下就極易氧化，鈰在室溫的干燥空气中能保持其固有的光澤，但在室溫的潮湿空气中，就很容易腐蝕了，純金屬鈰在空气中達到 $160^{\circ}\text{C}$ 時，即燃燒放出大量的熱，鈮在室溫下，與空氣的作用比鈰要慢。鈮可以在空氣中保存起來而不變色，它在空氣中達到 $900^{\circ}\text{C}$ 時才發生燃燒，並且所生成的氧化皮只限於金屬表面。鈮呈銀白色，放在空氣中經過幾個月的時間，只在表面生成一層銀灰色的氧化物。

稀土金屬與水作用的傾向，隨著原子序數的增加而減弱。鈰與冷水的作用很少，但與沸水發生作用，慢慢放出氫氣。

鈰在氯和溴中燃燒，生成鮮艳的火燄。鈰與氫、氮、碘、硫、硒、砷和銻可直接化合，鈰可以還元一氧化碳和二氧化碳析出碳，鈰能與稀過氧化氫和氯化鋁、氯化鈣溶液慢慢作用，在無機酸內劇烈溶解。

其他純稀土金屬大致也有上述類似的性質。

(3) 稀土金屬的機械性質 E. M. Савицкий 比較系統地研究了鑭、鈰、鑥的機械性能，並且就金屬杂质和點陣類型對於機械性能的影響方面，作了一些解釋[9]。

E. M. Савицкий 所得鑭（純度為 99%）的機械性能與溫度的關係如圖 1 所示。由圖中可以看到：鑭的硬度隨著溫度的升高而降低。在室溫， $H_K$  為 38 公斤/毫米<sup>2</sup>， $800^{\circ}\text{C}$  時為 3.6 公斤/毫米<sup>2</sup>，在 $500^{\circ}\text{C}$  時，硬度開始劇烈下降。拉伸強度在 $600^{\circ}\text{C}$  時開始劇烈下降，而在 $400^{\circ}\text{C}$ 之前，隨著

溫度的升高又略有增加，这大概是因为鑄內有杂质，在拉伸时，产生时效的結果所致。在 $<500^{\circ}\text{C}$ 时，随着溫度的升高，塑性增加很少，这时金属处于 $\alpha$ 点陣状态。在 $600\sim700^{\circ}\text{C}$ 的范围内，塑性剧烈增加，这时鑄处于 $\beta$ 点陣状态。当溫度超过 $700^{\circ}\text{C}$ 时，拉伸时的塑性减小，这是由于产生了过燒的現象，使晶粒边界發生破坏所致。 $\alpha$ -鑄在动力或靜力压缩时，均呈脆性破坏；当溫度为 $20\sim350^{\circ}\text{C}$ 时，压缩塑性不超过40%；而高于 $500\sim600^{\circ}\text{C}$ 时，試样不發生破裂。这时，試样当然是处在严密保护，使之不受氧化的情况下进行的。

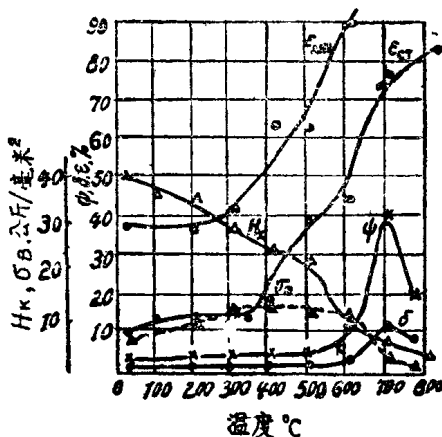


圖 1 溫度对于鑄的机械性能的影响

从以上所有数据可以看出：六方点陣的 $\alpha$ -鑄虽然具有一定的塑性，并且随溫度的升高而增大，但畢竟增加不大。由于存在杂质的关系，同素異晶轉变是在一般溫度范围之内进行的，当达到面心立方点陣时，塑性剧烈增加。

如果采用机械性能的对数和温度的关系圖(圖2)来分析, 則可在500~600°C的范围内, 發現明显的轉折点。由此可以証明所用該純度的鑑在500~600°C發生同素異晶轉变。

如果我們能找到一些金屬可以將 $\beta$ -鑑在室溫下固定下来, 即可获得塑性較高的鑑合金。

E. M. Савицкий 用同样方法得到鑑的机械性能和溫度之間的关系如圖3所示。由此圖可知: 在100~300°C內, 鑑的硬度降低很慢, 在20~350°C內鑑的拉伸强度随着溫度的升高反而略有增加, 这是由于所用的鑑的純度为97.1%, 其中含有其他稀土金屬, 在受热拉伸时, 产生时效的影响所致。在<350°C进行压缩时的塑性变化不大, 从400°C开始剧烈增長, 到600°C时相对压缩率达到75%, 仍不發生破裂。由20°C到400°C进行拉伸时的面积縮減率由5%增加到

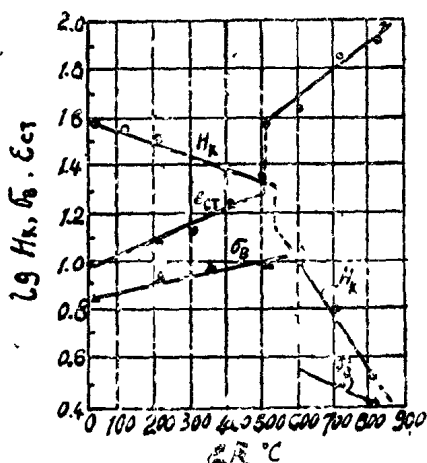


圖2 La 的机械性能(对数值) 和溫度的关系

32%，当温度再升高时，面积縮減率下降，这大概是因为晶粒边界过燒的緣故。

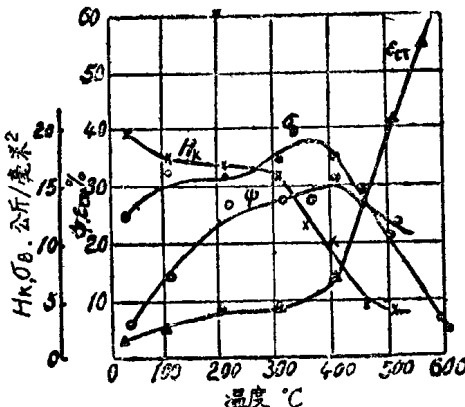


圖 3 鈮的机械性能和溫度的关系

在 20~350°C 产生脆性破裂，是由于  $\alpha$ -鈮具有六方点陣的緣故。超过 350°C 产生塑性破裂，是由于鈮处于立方点陣的  $\beta$  同素異晶状态所致。

由圖 3 及圖 4 可以証明純度为 97.1% 的鈮的同素異晶轉变溫度为 300~400°C。

根据 Bridgmen 及其他文献上所載的数据，鈮在高压或低温状态下，有另外一种面心立方点陣的同素異晶体結構。Bridgmen 將鈮在各方受压 (15000 大气压)时，發現其体积可減小 16.5%，当鈮中含鐵 >0.2% 时，则沒有压縮的現象。另外有人在研究中，發現鈮在 -183°C 左右体积突然收縮 10%。这两种体积收縮的情况确实是由于出現了面心立方点陣的緣故，但是这种轉变并不进行到底，它常常和原有的六方点陣混合一

起，由于受压的结果，两种点阵的点阵常数均有缩小。

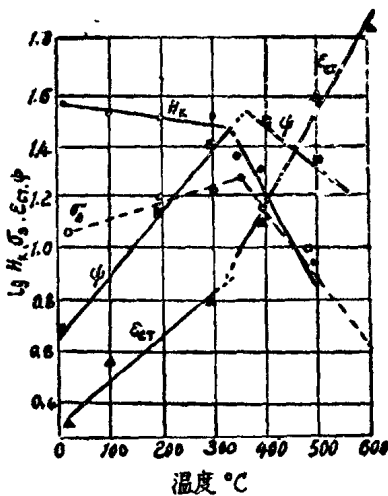


圖 4 鋨的机械性能（对数值）和温度的关系

由于鑪及其他鑪族金屬均有類似的性質，可能在壓力作用或低溫狀態之下，也有相似的同素異晶結構出現。

E. M. Савицкий 同样对于鑪的机械性能进行了研究，得知鑪在室溫时的硬度为  $H_K = 39$  公斤/毫米<sup>2</sup>，当加热到 400 °C 时，硬度剧烈下降到 23 公斤/毫米<sup>2</sup>。在高于 600 °C 壓縮时，其塑性則劇烈增加，这时鑪已經是处于面心立方点陣的  $\beta$  結構。

最近 E. M. Савицкий 等对于純度为~96% 的鈇进行了比較詳細的研究[10]。得知：鈇的硬度  $H_B = 80 - 85$  公斤/毫米<sup>2</sup>，拉伸强度  $\sigma_B = \sim 16$